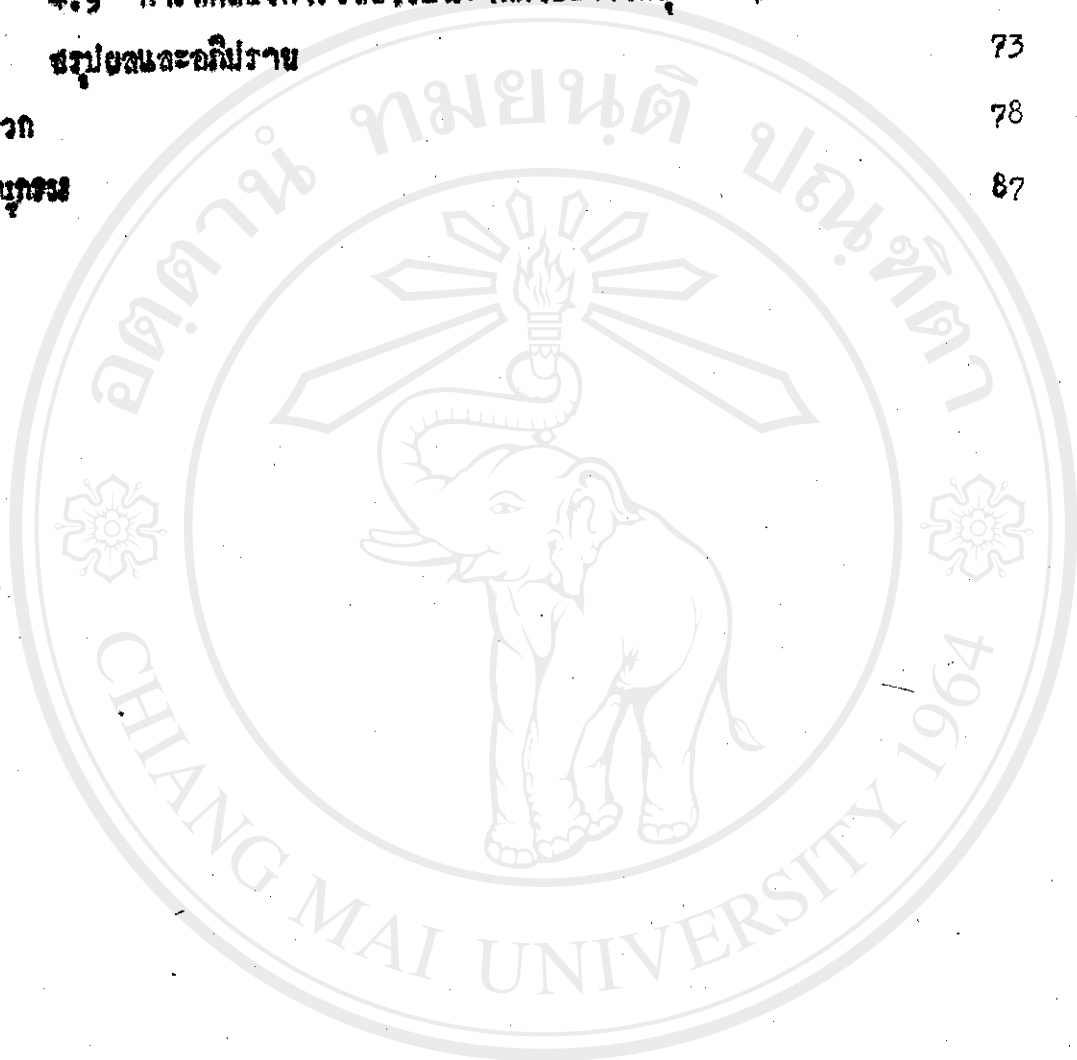


สารบัญ

	หน้า	
บทที่ 1	บทนำ	1
บทที่ 2	การเลี้ยวเบนแบบเฟรสเนล	3
	2.1 กลาวโดยทั่วไป	3
	2.2 หลักการของฮอยเกน	3
	2.3 การเคลื่อนที่ของคลื่นและ vibration curve	5
	2.4 เฟรสเนลโซน	12
	2.5 ก. การเลี้ยวเบนแสงของรูกลม	17
	2.5 ข. การเลี้ยวเบนแสงของแผ่นกลมทึบแสง	23
	2.6 โซนเพลต	24
	2.7 Fresnel Integrals	26
บทที่ 3	อุปกรณ์และวิธีการที่ใช้เกี่ยวกับการทดลอง	31
	3.1 อุปกรณ์	31
	3.2 การทำตัวอย่างเพื่อการทดลอง	34
	3.3 การจัดตั้งเครื่องมือสำหรับการทดลอง	35
	3.4 การเก็บข้อมูล	36
บทที่ 4	ผลการทดลองและการวิเคราะห์	37
	4.1 การศึกษาทางยาวโฟกัสของโซนเพลตที่สร้างขึ้น	37
	4.2 การทดลองการเลี้ยวเบนของรูกลม	40
	4.3 การทดลองโดยการใช้เลนส์ขนานหาช่วยรูปแบบการเลี้ยวเบน	47
	4.4 การทดลองการเลี้ยวเบนของขอบวัตถุ	48
	4.5 การทดลองการเลี้ยวเบนของร่องเดี่ยว	54
	4.6 การทดลองการเลี้ยวเบนของวัตถุทึบแสง	64

	หน้า
4.7 การทดลองการเลี้ยงเบนของวัตถุกลมทึบแสง	68
4.8 การทดลองการเลี้ยงเบนของวัตถุรูปร่างทวน	69
4.9 การทดลองการเลี้ยงเบนจากตัวอย่างวัตถุต่าง ๆ ที่ทำขึ้น	70
บทที่ 9 สรุปผลและอภิปราย	73
ภาคผนวก	78
บรรณานุกรม	87



ลิขสิทธิ์มหาวิทยาลัยเชียงใหม่
 Copyright© by Chiang Mai University
 All rights reserved

รายการตารางประกอบ

	หน้า
ตารางที่ 4.1 แสดงผลการทดลองหาความยาวโพกัสของโซนเพลต	37
ตารางที่ 4.2 แสดงตำแหน่งของการเกิดเฟรสน์โซนในวัตถุ ๗ ตำแหน่ง ภาพต่าง ๆ	46
ตารางภาคผนวก 1	78
ตารางภาคผนวก 2	81
ตารางภาคผนวก 3	83
ตารางภาคผนวก 4	85

ลิขสิทธิ์มหาวิทยาลัยเชียงใหม่
Copyright© by Chiang Mai University
All rights reserved

รายการภาพประกอบ

	หน้า
รูปที่ 2.1	แสดงการแผ่คลื่นแสงตามหลักการฮอยเกน 4
รูปที่ 2.2	แสดงการแบ่งพื้นที่ผิวหน้าคลื่นทรงกลมออกเป็นแถบวงกลม อยู่ห่างจากจุด P เป็นระยะ r และ $r + \Delta r$ 5
รูปที่ 2.3	แสดงการรวมกันของเวกเตอร์อัมพลิจูดจากการแทรกสอดที่จุด P 7
รูปที่ 2.4	แสดง vibration curve ที่สัมพันธ์กับการแบ่งแถบวงกลม ออกเป็นแถบวงกลมย่อย ๆ 8
รูปที่ 2.5	แสดงหน้าตัดของคลื่นทรงกลมที่ถูกแบ่งออกเป็นแถบวงกลม 9
รูปที่ 2.6	แสดงการแบ่งพื้นที่ผิวหน้าคลื่นออกเป็นเฟรสเนลโซน 13
รูปที่ 2.7	แสดงการรวมของอัมพลิจูดที่เกิดจาก Half-period zone 16
รูปที่ 2.8	แสดง vibration curve ของ Half-period zone ด้วย vibration spiral 17
รูปที่ 2.9	แสดงทางเคินแสงเมื่อผ่านรูกลมแล้วเกิดการเลี้ยวเบน 18
รูปที่ 2.10	Vibration spiral curve ที่ใช้อธิบายรูปแบบการเลี้ยวเบน ของวัตถุกลม 18
รูปที่ 2.11	ภาพแสดงรูปแบบการเลี้ยวเบนของรูกลมมีเส้นผ่าศูนย์กลาง 1.8 มม. ที่ระยะภาพต่าง ๆ กัน 20
รูปที่ 2.12	ภาพแสดงรูปแบบการเลี้ยวเบนของวัตถุทึบแสงทรงกลม 24
รูปที่ 2.13	ภาพแสดงตัวอย่างแบบของโซนเพลต 25
รูปที่ 2.14	รูปแสดงการเลี้ยวเบนแบบเฟรสเนลบนขอบวัตถุ 26
รูปที่ 2.15	รูปแสดง Cornu's spiral 29
รูปที่ 2.16	รูปแสดงการใช้ความยาวเวกเตอร์ใน Cornu's spiral กับ การเลี้ยวเบนของขอบวัตถุ เพื่อหาอัมพลิจูด ณ ตำแหน่งต่าง ๆ บนฉาก 30

รูปที่ 2.17	ภาพแสดงความสัมพันธ์ของค่า v , x , และ y ใน The Fresnel Integrals	30
รูปที่ 3.1	ภาพแสดงรูปแบบการเลี้ยวเบนที่เกิดจาก pin-hole	32
รูปที่ 3.2	Diagram แสดงกรอบที่ใช้ยึด pin-hole ซึ่งปรับได้ 2 ทิศทาง	33
รูปที่ 3.3	Diagram แสดงการจัดลำแสงให้ขนานเพื่อใช้ทดลอง และการจัดเครื่องมือเพื่อการทดลอง	36
รูปที่ 4.1	ภาพแสดงการรวมแสงของโซนเฟลต n ตำแหน่งต่าง ๆ เมื่อนำกลิ้งเลื่อนเข้าหาจุดโฟกัส	38
รูปที่ 4.2	ภาพแสดงตำแหน่งโฟกัสของโซนเฟลต	39
รูปที่ 4.3	ภาพแสดงการใช้โซนเฟลตแทนเลนส์รับภาพการเลี้ยวเบน ของวัตถุรูป Y'	39
รูปที่ 4.4	ภาพแสดงรูปแบบการเลี้ยวเบนของวงกลมขนาดเส้นผ่าศูนย์กลาง กลาง 1.8 มม. เมื่อใช้ลำแสงขนานแล้วเปลี่ยนระยะภาพ	40
รูปที่ 4.5	ภาพแสดงรูปแบบการเลี้ยวเบนของวงกลมเส้นผ่าศูนย์กลาง 1.8 มม. ใช้ลำแสงไม่ขนาน เมื่อระยะวัตถุคงที่ แล้วเปลี่ยน ระยะภาพ	42
รูปที่ 4.6	ภาพแสดงรูปแบบการเลี้ยวเบนของวงกลมเส้นผ่าศูนย์กลาง 1.8 มม. ใช้ลำแสงไม่ขนาน เมื่อระยะภาพคงที่ แล้วเปลี่ยน ระยะวัตถุ	43
รูปที่ 4.7	ภาพแสดงรูปแบบการเลี้ยวเบนของวงกลมที่มีขนาดต่าง ๆ กัน เมื่อกำหนดระยะภาพกับระยะวัตถุให้	44
รูปที่ 4.8	ภาพแสดงรูปแบบการเลี้ยวเบนที่อยู่ไกล ๆ วัตถุเมื่อใช้เลนส์ ช่วยดูรายละเอียด	47

	หน้า	
รูปที่ 4.9	ภาพแสดงรูปแบบการเลี้ยวเบนของขอบใบมีดโกนหนวด	49
รูปที่ 4.10	Diagram แสดงตำแหน่ง P บนฉากที่สอดคล้องกับการใช้ Cornu's spiral เพื่อหาอัมปลิจูด	50
รูปที่ 4.11	กราฟแสดงความสัมพันธ์ของค่า v กับอัมปลิจูดของวัตถุ	53
รูปที่ 4.12	กราฟแสดงความสัมพันธ์ของค่า v กับความเข้มแสง	53
รูปที่ 4.13	ภาพแสดงรูปแบบการเลี้ยวเบนของวัตถุสี่เหลี่ยมผืนผ้า กว้าง 1.4 มม. ยาว 3.14 มม. ไซท์ลำแสงขนาน	55
รูปที่ 4.14	ภาพแสดงรูปแบบการเลี้ยวเบนของร่องเดี่ยว กว้าง 1.7 มม. ไซท์ลำแสงขนาน	56
รูปที่ 4.15	ภาพแสดงรูปแบบการเลี้ยวเบนของร่องเดี่ยวแคบ ขนาด กว้าง 0.098 มม. ไซท์ลำแสงขนาน	57
รูปที่ 4.16	ภาพแสดงการเปรียบเทียบรูปแบบการเลี้ยวเบนของร่องเดี่ยวแคบต่างชนิดกัน ไซท์ลำแสงขนาน	58
รูปที่ 4.17	รูปแสดงส่วนของหน้าคลื่นที่ร่องเดี่ยวเปิดให้ไซท์ถึงฉากแล้ว เกิดการเลี้ยวเบน	60
รูปที่ 4.18	รูปแสดงการใช้ Cornu's spiral กับการเลี้ยวเบนของร่องเดี่ยว	60
รูปที่ 4.19	กราฟแสดงความสัมพันธ์ระหว่างความเข้มแสงกับค่า v เมื่อร่องเดี่ยวมีค่า $\Delta v = 0.4$	62
รูปที่ 4.20	กราฟแสดงความสัมพันธ์ระหว่างความเข้มแสงกับค่า v เมื่อร่องเดี่ยวมีค่า $\Delta v = 1.4$	62
รูปที่ 4.21	กราฟแสดงความสัมพันธ์ระหว่างความเข้มกับค่า v ของร่องเดี่ยวมีค่า $\Delta v = 4.2$	63

	หน้า	
รูปที่ 4.22	กราฟแสดงความสัมพันธ์ระหว่างความเข้มกับค่า v ของ ร่องเคียวมีค่า $\Delta v = 6.4$	63
รูปที่ 4.23	ภาพแสดงรูปแบบการเลี้ยวเบนที่เกิดจากเส้นผมขนาดเส้น ผ่าศูนย์กลาง 0.092 มม. ใหลำแสงไมขนาน	64
รูปที่ 4.24	ภาพแสดงรูปแบบการเลี้ยวเบนของแถบทึบแสงโตสมำเสมอ กว้าง 0.312 มม. ใหลำแสงไมขนาน	64
รูปที่ 4.25	ภาพแสดงรูปแบบการเลี้ยวเบนของเข็มค่างขนจกกัน พร้อมกั ขอบของไอริส ใหลำแสงไมขนาน	65
รูปที่ 4.26	กราฟแสดงความสัมพันธ์ระหว่างความเข้มแสงกับค่า v ของ วัตถุทึบแสงมีค่า $\Delta v = 0.4$	67
รูปที่ 4.27	กราฟแสดงความสัมพันธ์ระหว่างความเข้มแสงกับค่า v ของ วัตถุทึบแสง มีค่า $\Delta v = 1.6$	67
รูปที่ 4.28	ภาพแสดงรูปแบบการเลี้ยวเบนของวัตถุกลมทึบแสง เส้นผ่าศูนย์กลาง กลาง 4.00 มม. ติดกัปลายเข็มเส้นผ่าศูนย์กลาง 0.5 มม. ลำแสงไมขนาน	69
รูปที่ 4.29	ภาพแสดงรูปแบบการเลี้ยวเบนของวงแหวนกลวง กว้าง 0.05 มม. ใหลำแสงขนาน	70
รูปที่ 4.30	ภาพแสดงรูปแบบการเลี้ยวเบนของวัตถุ  ใหลำแสง ขนานและไมขนาน	71
รูปที่ 4.31	ภาพแสดงรูปแบบการเลี้ยวเบนของวัตถุ Δ ใหลำแสงขนาน	72
รูปที่ 4.32	ภาพแสดงรูปแบบการเลี้ยวเบนของวัตถุรูปกลม เส้นผ่าศูนย์กลาง 0.219 มม. จุดศูนย์กลางห่างกัน 0.815 มม.	72